

**Всероссийская студенческая олимпиада  
по теоретической механике, КГЭУ, 19-23 ноября 2018 г.**

**Решения задач компьютерного конкурса**

Автор задач:

доцент кафедры ТМ и СМ КНИТУ Муштари Айрат Ильдарович.

Рецензент:

доцент кафедры АГМ К(П)ФУ Марданов Ренат Фаритович.

**Решение задачи 1.**

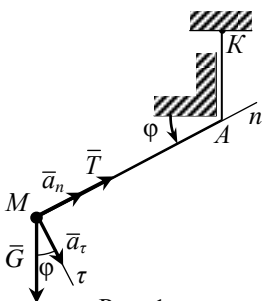


Рис. 1

**1.1.** Введем обозначения:  $\varphi$  – угол поворота участка  $AM$  нити,  $s$  – длина участка  $AM$ ,  $\vec{G}$  и  $\vec{T}$  – сила тяжести и сила натяжения нити, соответственно (рис. 1). Запишем дифференциальное уравнение (ДУ) движения точки  $M$  при ее вращении вокруг неподвижной точки  $A$  в проекции на касательную ось  $\tau$ , с учетом  $a_\tau = s\ddot{\varphi}$ :

$$m a_\tau = G \cos \varphi.$$

$$\ddot{\varphi} = \frac{g}{s} \cos \varphi. \quad (1)$$

В данном задании в течение всего времени  $s = s_0 = 2$  м.

Начальные условия для ДУ (1):

$$\varphi(0) = \alpha, \quad \dot{\varphi}(0) = 0. \quad (2)$$

Условие выхода:

$$\varphi(\tau) = \pi/2. \quad (3)$$

Решаем систему (1)-(2) численно с использованием метода Эйлера или Рунге-Кутты с шагом численного метода  $h \sim 10^{-6}$  с.

Примеры вычислений приведены в тексте с условиями задач в примерах для отладки.

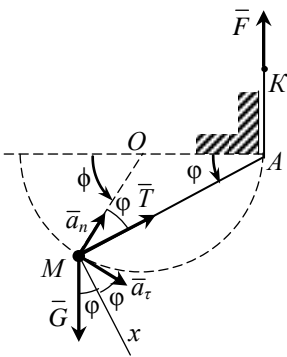


Рис. 2

**1.2.** Движение точки  $M$  по дуге окружности с центром  $O$ , лежащим на одной горизонтали с  $A$ , обеспечивается приложенной к точке  $K$  некоторой переменной силой  $F = F(\varphi)$  (рис. 2). Угол поворота радиуса вращения  $OM$  вокруг  $O$  равен  $\varphi = 2\alpha$ . При этом из равнобедренного треугольника  $OMA$ :

$$OM = \frac{s_0}{2 \cos \alpha}.$$

Чтобы исключить неизвестную силу натяжения  $T = F$  из записи уравнения движения, спроецируем ДУ движения точки  $M$  на ось  $x$ , перпендикулярную  $\vec{T}$ :

$$m(a_\tau \cos \varphi - a_n \sin \varphi) = G \cos \varphi.$$

С учетом  $\cos \varphi \neq 0$  при  $\varphi < \pi/2$  (т.е. в течение всего движения, кроме момента времени  $\tau$ ), можно разделить ДУ на  $\cos \varphi$ :

$$a_\tau - a_n \operatorname{tg} \varphi = g.$$

Учтем здесь

$$a_\tau = OM \cdot \ddot{\varphi}, \quad a_n = OM \cdot \dot{\varphi}^2.$$

Окончательно получаем ДУ относительно угла  $\varphi$ :

$$\ddot{\varphi} = \dot{\varphi}^2 \operatorname{tg}(\varphi/2) + \frac{2g \cos \alpha}{s_0}. \quad (4)$$

В (3) выражение  $\operatorname{tg}(\varphi/2)$  определено при  $2\alpha \leq \varphi < \pi$ . Поэтому в программе для численного метода выражение из правой части (4) определено вплоть до последнего шага численного метода.

Начальные условия:

$$\varphi(0) = 2\alpha, \quad \dot{\varphi}(0) = 0.$$

Условие выхода:  $\varphi(\tau) = \pi$ . В программе вычисления идут до тех пор, пока  $\varphi(\tau) < \pi$ . Величина  $\tau$  равна пределу времени движения  $M$  при ее стремлении к положению  $A$ . Хотя угловое ускорение  $\ddot{\varphi}$  при

стремлении точки  $M$  к положению  $A$  стремится к бесконечности, на точность вычисления  $\tau$  это почти не оказывает влияния, так как участок с такой особенностью точка преодолевает за весьма короткое время. Это подтверждается достаточно хорошей сходимостью численного метода. Ответ с точностью до 5 знаков обеспечивается при шаге по времени  $h \sim 10^{-6}$ .

Однако, если требуется обеспечить еще более высокую точность решения, можно использовать следующий уточняющий подход (предложен рецензентом Р.Ф. Мардановым). Приращение угла, получаемое на последнем временном отрезке, на порядки больше, чем в среднем по всему пути. Поэтому разобьем весь путь интегрирования на два участка. На первом участке численно интегрируем ДУ (4) по времени. На втором участке (начиная с некоторого промежуточного момента и до момента  $\tau$ ) переходим в уравнениях к независимой переменной  $\phi$  и вводим новую функцию  $\zeta = 1/\dot{\phi}$ . Получаем следующую систему ДУ:

$$\frac{d\zeta}{d\phi} = -\frac{g\zeta^3}{r} + \zeta \operatorname{tg} \frac{\phi}{2}, \quad \frac{dt}{d\phi} = \zeta,$$

где  $r = s_0$  – радиус траектории, а начальные условия для системы берутся с последнего момента времени первого участка движения.

Если в рамках лишь (4) ответ с заданной точностью обеспечивается при шаге по времени  $h \sim 10^{-6}$ , то, например, при  $h \sim 10^{-5}$  ответ уже начинает отличаться от верного в последнем знаке. А уточняющий подход обеспечивает точность всех знаков и при  $h \sim 10^{-4}$  (методом Эйлера 2-го порядка). К сожалению, формулы для второго участка использовать на всем пути движения не удастся, так как в начальный момент времени  $\zeta = \infty$ . Поэтому в рамках этого уточняющего подхода приходится вводить разбиение на два участка.

**1.3. Способ 1.** Движение точки  $M$  рассмотрим как сложное движение (рис. 3). Относительное движение – движение вдоль прямой  $AM$ , переносное движение – вращение вместе с  $AM$  вокруг  $A$ . Абсолютное ускорение точки  $M$ :  $\bar{a}_a = \bar{a}_e + \bar{a}_r + \bar{a}_c$ .

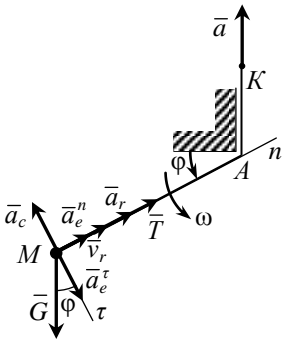


Рис. 3

При этом относительное ускорение равно  $a_r = a = g$ , вектор  $\bar{a}_r$  направлен к точке  $A$ . Дважды интегрируя по времени при начальных условиях  $s(0) = s_0 = 2$ ,  $v_r(0) = 0$ , получим относительную скорость:  $v_r = v_r(t) = gt$ , а также закон относительного движения:  $s = s(t) = s_0 - gt^2 / 2$ .

Переносное ускорение:  $\bar{a}_e = \bar{a}_e^\tau + \bar{a}_e^n$ , где  $a_e^\tau = s\ddot{\phi}$ ,  $a_e^n = s\dot{\phi}^2$ . Ускорение Кориолиса:

$$a_c = 2\omega_e v_r = 2\dot{\phi}gt.$$

Чтобы исключить из записи ДУ движения неизвестную силу натяжения нити  $T$ , проецируем ДУ на касательную ось  $\tau$ :

$$\begin{aligned} m(a_e^\tau - a_c) &= G \cos \phi. \\ s\dot{\phi} - 2\dot{\phi}gt &= g \cos \phi. \\ \ddot{\phi} &= \frac{2gt\dot{\phi} + g \cos \phi}{s_0 - gt^2/2}. \end{aligned} \quad (5)$$

Начальные условия для ДУ (5) совпадают с (2). Условием выхода, помимо (3), могло бы быть также условие  $s(\tau) = 0$  (при этом точка  $M$  также оказалась бы на вертикали  $AM$ ). Однако численный эксперимент показывает, что последнее условие могло бы реализоваться ранее выполнения (3) лишь при огромных значениях  $a$  (порядка  $10^4 g$  или более). При  $a = g$  и любом значении  $\alpha$  в (2) реализуется условие выхода (3).

*Способ 2.* Вывод (5) будет короче, если записать ДУ движения точки  $M$  в полярной системе координат с координатами  $\rho = AM$  и  $\phi$ . ДУ движения в проекции на подвижный орт, связанный с движущейся точкой и направленный в сторону возрастания координаты  $\phi$ , имеет известный из теории вид:

$$m(2\dot{\rho}\dot{\phi} + \rho\ddot{\phi}) = F_\phi.$$

В нашем случае:

$$\rho = s_0 - gt^2/2, \quad \dot{\rho} = -gt, \quad F_\phi = mg \cos \phi.$$

С учетом этого выводим уравнение (5).

В дополнение к примеру для отладки: при  $\alpha = \pi/6$  рад в искомый момент  $\tau = 0.49637$  с получим  $s = 0.79274$  м.

**1.4. Способ 1.** В отличии от предыдущего задания величина силы натяжения нити постоянна и известна:  $T = F = mg$ , зато относительное ускорение  $a_r$  с течением времени меняется по заранее неизвестному закону (рис. 3). При этом, с учетом предварительного выбора направлений  $\bar{v}_r$  и  $\bar{a}_r$  на рисунке, будет выполняться:  $v_r = -\dot{s}$ ,  $a_r = -\ddot{s}$ . Поэтому выражение для ускорения Кориолиса получает вид:  $a_c = -2\dot{\phi}\dot{s}$ . (Как обычно в задачах такого рода, истинные направления векторов ускорений могут быть противоположными направлениям, указанным на рисунке, если их величины отрицательны, но это не влияет на получение ДУ движения в общем виде.)

Запишем ДУ движения в проекциях на оси  $\tau$  и  $n$ :

$$\begin{cases} m(a_e^\tau - a_c) = G \cos \phi. \\ m(a_r + a_e^n) = T - G \sin \phi. \end{cases} \quad (6)$$

$$\begin{cases} s\ddot{\phi} + 2\dot{\phi}\dot{s} = g \cos \phi. \\ -\ddot{s} + s\dot{\phi}^2 = g(1 - \sin \phi). \end{cases}$$

$$\begin{cases} \ddot{\phi} = \frac{-2\dot{\phi}\dot{s} + g \cos \phi}{s}. \\ \ddot{s} = s\dot{\phi}^2 - g(1 - \sin \phi). \end{cases} \quad (7)$$

Начальные условия для системы ДУ (6):

$$\phi(0) = \alpha, \quad \dot{\phi}(0) = 0, \quad s(0) = s_0, \quad \dot{s}(0) = 0. \quad (8)$$

Условия выхода те же, что и в задании 1.3: достижение  $\phi(\tau) = \pi/2$  или  $s(\tau) = 0$ . Но, как и задании 1.3, реализуется лишь первое из этих условий.

*Способ 2.* Как и в задании 1.3, вывод (7) будет короче, если записать ДУ движения точки  $M$  в полярной системе координат. ДУ движения в проекциях на подвижные орты, связанные с движущейся точкой и направленные в сторону возрастания координат  $\rho$  и  $\varphi$ , соответственно, имеют известный из теории вид:

$$\begin{cases} m(\ddot{\rho} - \rho\dot{\varphi}^2) = F_\rho, \\ m(2\dot{\rho}\dot{\varphi} + \rho\ddot{\varphi}) = F_\varphi. \end{cases}$$

В нашем случае:

$$\rho = s, \quad F_\rho = -T + G \sin \varphi = -mg(1 - \sin \varphi), \quad F_\varphi = mg \cos \varphi.$$

Отсюда сразу получаем (7) (там уравнения записаны в другой последовательности).

Заметим, что в течение некоторого промежутка времени от начала движения, в силу  $T - G \sin \alpha > 0$ , будет  $a_r > 0$ , т.е.  $\ddot{s} < 0$  и точка  $K$  поднимается. Однако по мере увеличения  $\varphi$  и  $a_e^n$ , как видно из 2-го уравнения в (7), величина  $\ddot{s}$  станет положительной, т.е. точка  $K$  начнет опускаться.

В дополнение к примеру для отладки: при  $\alpha = \pi/6$  рад до момента  $t = 0.50378$  с точка  $K$  поднимается, в этот момент достигается наименьшее значение  $s = 1.69077$  м. Затем точка  $K$  опускается и в искомый момент  $\tau = 0.68914$  с получим  $s = 1.85728$  м.

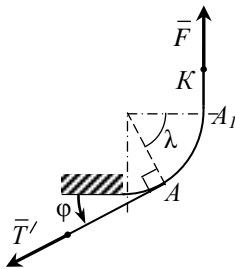


Рис. 4

**1.5.** Запишем соотношение между силами  $F$  и  $T$  при наличии трения на участке малого шероховатого закругления  $AA_1$  (рис. 4). Величина дуги закругления, вдоль которой происходит контакт нити с закруглением  $AA_1$ , равна  $\lambda = \pi/2 - \varphi$ .

*Случай 1.* Условие непроскальзывания нити вдоль  $AA_1$  согласно формуле Эйлера (см., например, учебник Тарг С.М. Краткий курс теоретической механики. 2001. §26):

$$e^{-f\lambda} \leq \frac{F}{T} \leq e^{f\lambda}. \quad (9)$$

При этом  $a_r = 0$  и точка  $M$  вращается вокруг  $A$  с постоянным радиусом вращения  $s$ . ДУ этого вращения совпадает с ДУ (1).

При нарушении (9) нить проскальзывает вдоль  $A$  и нужно рассмотреть следующие два случая.

*Случай 2.* Если в какой-то момент на шаге численного метода в программе получается численно  $\frac{F}{T} < e^{-f\lambda}$ , то это соответствует проскальзыванию нити в направлении действия  $\bar{T}'$  (при этом точка  $K$  опускается). Тогда необходимо положить  $\frac{F}{T} = e^{-f\lambda}$ , то есть  $T = Fe^{f\lambda} = 0.5mg e^{f(\pi/2-\varphi)}$ . С учетом этого, система ДУ по сравнению с (6) получает несколько иной вид:

$$\begin{cases} \ddot{\varphi} = \frac{-2\dot{\varphi}\dot{s} + g \cos \varphi}{s} \\ \ddot{s} = s\dot{\varphi}^2 - g(0.5 e^{f(\pi/2-\varphi)} - \sin \varphi). \end{cases} \quad (10)$$

*Случай 3.* Если в какой-то момент в программе получилось бы численно

$$\frac{F}{T} > e^{f\lambda}, \quad (11)$$

то это соответствовало бы проскальзыванию нити в направлении действия  $\bar{F}$  (при этом точка  $K$  поднималась бы). Тогда необходимо было бы положить далее  $\frac{F}{T} = e^{f\lambda}$ , то есть  $T = Fe^{-f\lambda}$ .

Докажем, что для того, чтобы случай 3 не мог реализоваться с учетом условий  $\pi/6 \leq \alpha < \pi/2$  и  $F = mg/2$ , достаточно, чтобы с течением времени выполнялось  $\varphi \geq \pi/6$ . Действительно, предположим противное, т.е. реализацию случая 3. Обозначим самый ранний момент такой реализации через  $t_{\min}$ . Заметим, что при  $t = t_{\min}$  вектор  $\bar{a}_r$  был бы направлен строго к точке  $A$ . Тогда из 2-го уравнения (6) с учетом

$a_e^n \geq 0$  получим:

$$\begin{aligned} m(a_e^n + |a_r|) &= T - G \sin \varphi. \\ T &> G \sin \varphi \geq G/2. \end{aligned} \quad (12)$$

Тогда  $\frac{F}{T} < 1 \leq e^{f(\pi/2-\alpha)}$ , что противоречило бы (11). Доказательство завершено.

Условие  $\varphi \geq \pi/6$  выполняется в силу того, что вектор абсолютного ускорения точки  $M$   $\bar{a}_M = (\bar{G} + \bar{T})/m$  все время направлен ниже прямой  $AM$ , при том, что точка  $M$  вначале была в покое. Поэтому траектория точки  $M$  не пересечет луч  $AM_0$ , где  $M_0$  – начальное положение точки  $M$ . Отсюда  $\varphi \geq \alpha \geq \pi/6$ .

Поэтому случай 3 не реализуется.

При численном моделировании при  $t=0$  проверяем, реализуется ли случай 1. При этом, как видно из 2-го уравнения (6), полагаем  $T = G \sin \alpha$ .

Если значение  $\alpha$  ближе к  $\pi/6$ , то при  $t=0$  условие (9) выполняется и случай 1 реализуется. Далее по мере увеличения  $\sin \varphi$  и  $a_n$  величина  $T = G \sin \varphi + ma_n$  увеличивается, в некоторый момент (9) перестает выполняться и начинает реализовываться случай 2. Например, в примере для отладки при  $\alpha = \pi/6$  рад это происходит в момент  $t = 0.23734$  с. С дальнейшим увеличением  $\sin \varphi$  и  $a_n$  величина  $T$  продолжает увеличиваться, поэтому случай 2 реализуется вплоть до момента  $\tau$ . В дополнение к примеру для отладки: при  $\alpha = \pi/6$  в искомый момент  $\tau = 0.88631$  с будет  $s = 3.18395$  м.

Если же значение  $\alpha$  ближе к  $\pi/2$ , то (9) не выполняется и сразу реализуется случай 2 вплоть до момента  $\tau$ . Например, такая ситуация возникает в другом примере для отладки при  $\alpha = \pi/3$ . При этом в искомый момент  $\tau = 0.93335$  с будет  $s = 3.62578$  м.

### **Решение задачи 2.**

Для произвольного положения стержня во время движения:

$$\begin{aligned}(x_B - x_A)^2 + (y_B - y_A)^2 &= l^2. \\ (x_B - x_A)^2 + \left(\frac{1}{x_B} - \frac{1}{x_A}\right)^2 &= l^2.\end{aligned}\quad (1)$$

Для начального положения с учетом  $x_{A,0} = y_{A,0} = 1$  м:

$$(x_{B,0} - 1)^2 + \left(\frac{1}{x_{B,0}} - 1\right)^2 = l^2. \quad (2)$$

Выражение в левой части (2) будет тем меньше, чем меньше будет  $l$ , и, судя по графику функции  $y = 1/x$ , чем больше будет  $x_{B,0}$ ,  $x_{B,0} \in (0;1)$ . Поэтому при фиксированном  $l$  функция

$$F(x_{B,0}) = (x_{B,0} - 1)^2 + \left(\frac{1}{x_{B,0}} - 1\right)^2 - l^2$$

монотонно убывает на интервале  $x_{B,0} \in (0;1)$ . Решая нелинейное уравнение  $F(x_{B,0}) = 0$  численно, например, методом половинного деления, находим  $x_{B,0}$ . Далее получаем  $y_{B,0} = \frac{1}{x_{B,0}}$ .

Определить  $v_{B,0}$  можно различными способами.

*Способ 1.* Дифференцируем (1) по времени для произвольного положения стержня во время движения:

$$2(x_B - x_A)(\dot{x}_B - \dot{x}_A) + 2\left(\frac{1}{x_B} - \frac{1}{x_A}\right) \cdot \left(-\frac{\dot{x}_B}{x_B^2} + \frac{\dot{x}_A}{x_A^2}\right) = 0. \quad (3)$$

Из (3) выражаем  $\dot{x}_B$ :

$$\dot{x}_B = \frac{x_B^2(x_A^3 x_B + 1)}{x_A^2(x_A x_B^3 + 1)} \cdot \dot{x}_A. \quad (4)$$

Для начального положения учитываем:

$$x_{A,0} = y_{A,0} = 1 \text{ м,}$$

$$\dot{x}_{A,0} = v_{A,0} \cos 45^\circ = 5/\sqrt{2} \text{ м/с.}$$

Тогда после упрощений получим из (4):

$$\dot{x}_{B,0} = \frac{x_B^2}{x_B^2 - x_B + 1} \cdot \frac{5}{\sqrt{2}}. \quad (5)$$

Далее находим  $\dot{y}_B$ , продифференцировав соотношение  $y_B = \frac{1}{x_B}$ :

$$\dot{y}_B = -\frac{\dot{x}_B}{x_B^2}. \quad (6)$$

С учетом (5) и ранее численно найденного  $x_{B,0}$  из (6):

$$\dot{y}_{B,0} = -\frac{\dot{x}_{B,0}}{x_{B,0}^2}. \quad (7)$$

Окончательно, с учетом (5) и (7):

$$v_{B,0} = \sqrt{(\dot{x}_{B,0})^2 + (\dot{y}_{B,0})^2}. \quad (8)$$

Например, при  $l = 2$  м получим  $\dot{x}_{B,0} = 0.5471$  м/с,  $\dot{y}_{B,0} = -4.5696$  м/с,  $v_{B,0} = 4.6022$  м/с.

*Способ 2.* Более экономичный в плане расхода времени на вычисления и программирование способ состоит в численной оценке  $v_{Bx,0}$ ,  $v_{By,0}$ :

$$v_{Bx,0} = \left( \frac{dx_B}{dt} \right)_0 \approx \frac{x'_{B,0} - x_{B,0}}{h}, \quad v_{By,0} \approx \frac{y'_{B,0} - y_{B,0}}{h}, \quad (9)$$

где  $x'_{B,0}$ ,  $y'_{B,0}$  – координаты точки  $B$  по прошествии малого промежутка времени  $dt = h$  после начала движения. Для их определения вначале вычисляем координату точки  $A$  в этот момент (используя формулу, аналогичную (9)):

$$x'_{A,0} \approx x_{A,0} + v_{Ax,0} \cdot h.$$

Затем решаем численно нелинейное уравнение вида (1), где  $x_A = x'_{A,0}$ , полностью аналогично тому, как это делалось при определении  $x_{B,0}$ .

Получаем  $x'_{B,0}$ , а затем  $y_{B,0} = \frac{1}{x_{B,0}}$ . Далее используем (9) и затем по (8) находим  $v_{B,0}$ . Численный эксперимент показывает, что в рамках данного способа ответ получается с необходимой точностью.

Для определения  $\omega_0$  запишем для стержня  $AB$  теорему о сложении скоростей при плоскопараллельном движении твердого тела:

$$\begin{aligned} \bar{v}_B &= \bar{v}_A + \bar{v}_{B/A} \cdot \\ \bar{v}_{B/A} &= \bar{v}_B - \bar{v}_A \cdot \\ \omega &= \frac{v_{B/A}}{l} = \frac{\sqrt{(v_{Bx} - v_{Ax})^2 + (v_{By} - v_{Ay})^2}}{l}. \end{aligned} \quad (10)$$

Учитываем в (10) ранее найденные значения проекций скоростей для начального положения и получаем  $\omega_0$ .

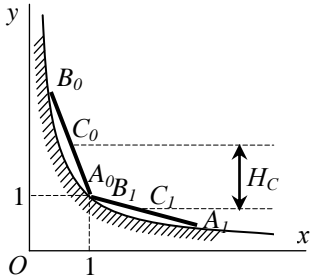


Рис. 5

Определим  $\omega_1$ . Обозначим начальное и конечное положения стержня через  $A_0B_0$  и  $A_1B_1$ , соответственно (рис. 5). При этом точки  $A_1$  и  $B_0$  совпадают и лежат на прямой  $y = x$ . Поверхность, заданная уравнением  $xu = 1$ , симметрична относительно прямой  $y = x$ . Поэтому  $A_0B_0$  и  $A_1B_1$  симметричны относительно  $y = x$ . Мгновенные центры скоростей (МЦС)  $P_0$  и  $P_1$  для этих положений,

находящиеся на пересечении перпендикуляров к направлениям скоростей концов стержня, т.е. на пересечении перпендикуляров к касательным к поверхности, также симметричны относительно  $y = x$ .

Причем, так как перпендикуляры к векторам  $\bar{v}_{A,0}$ ,  $\bar{v}_{B,1}$  совпадают с прямой  $y = x$ , то положения  $P_0$  и  $P_1$  совпадают. Поэтому моменты инерции относительно осей, проходящих через соответствующие МЦС, для положений  $A_0B_0$  и  $A_1B_1$  одинаковы:  $J_{P_0z_0} = J_{P_1z_1}$ .

Отношение кинетических энергий стержня в конечном и начальном положениях:

$$\frac{T_1}{T_0} = \frac{J_{P_1 z_1} \omega_1^2 / 2}{J_{P_0 z_0} \omega_0^2 / 2} = \frac{\omega_1^2}{\omega_0^2}.$$

$$\omega_1 = \sqrt{\frac{T_1}{T_0}} \cdot \omega_0. \quad (11)$$

С другой стороны,

$$T_0 = \frac{Mv_{C,0}^2}{2} + \frac{J_{Cz} \omega_0^2}{2}, \quad (12)$$

где момент инерции относительно центра масс стержня  $J_{Cz} = \frac{Ml^2}{12}$ .

Так как  $\bar{r}_C = (\bar{r}_A + \bar{r}_B) / 2$ , то  $\bar{v}_C = (\bar{v}_A + \bar{v}_B) / 2$  и в (12):

$$v_{C,0}^2 = v_{Cx,0}^2 + v_{Cy,0}^2 = ((v_{Ax,0} + v_{Bx,0}) / 2)^2 + ((v_{Ay,0} + v_{By,0}) / 2)^2. \quad (13)$$

Работа силы тяжести:

$$A_G = MgH_C. \quad (14)$$

Так как  $y_{A,0} = y_{B,1} = 1$  и, в силу вышеописанной симметрии,  $y_{A,1} = x_{B,0}$ , то

$$H_C = y_{C,0} - y_{C,1} = \frac{y_{B,0} + y_{A,0}}{2} - \frac{y_{B,1} + y_{A,1}}{2} = \frac{y_{B,0} - x_{B,0}}{2}. \quad (15)$$

По теореме об изменении кинетической энергии для стержня  $AB$ :

$$T_1 - T_0 = A_G.$$

$$T_1 = T_0 + A_G, \quad (16)$$

где  $T_0$  вычисляем по (12) с учетом (13) и ранее найденных численных значений скоростей для начального положения, а  $A_G$  вычисляем по (14) с учетом (15) и ранее найденных численных значений координат для начального положения.

Окончательно, с учетом (16) искомое  $\omega_1$  определяем по (11). Отметим, что везде в ходе этих вычислений в программе можно полагать  $M = 1$ , так как в числителе и знаменателе (11) масса сокращается.

Возможен также способ определения  $\omega_1$  без привлечения вышеописанного учета симметрии относительно  $y = x$  и соотношения (11). Для этого вначале по (16) вычисляем  $T_1$ . Затем исходим из формулы

$$T_1 = \frac{Mv_{C,1}^2}{2} + \frac{J_{Cz}\omega_1^2}{2}. \quad (17)$$

В рамках метода половинного деления варьируем, например,  $v_{A,1}$ , вычисляя затем  $v_{B,1}$  и далее  $v_{C,1}$ , а также  $\omega_1$  (аналогично тому, как это делалось выше для начального положения). Определяем значение выражения в правой части (17) и сравниваем результат с действительным значением  $T_1$  в левой части (17). Использование метода половинного деления позволяет получить значения скоростей, а, значит, и искомого  $\omega_1$ , при которых (17) выполняется.

Отметим, что хотя этот способ и несколько более трудоемок при реализации в программе, зато применим для произвольного конечного положения  $AB$ , а не только для рассмотренного в условии «удобного» конечного положения.